

Прикладная математика (4 семестр)
Лабораторная работа 4
"Методы численного решения спектральной задачи"

Александров Даниил, Ершов Александр



ITMO UNIVERSITY

1 Описание

Важной и трудной задачей линейной алгебры является нахождение собственных значений матрицы, а также собственных векторов матрицы. Рассматривается проблема устойчивости собственных значений по отношению к малым возмущениям элементов матрицы.

2 Цели

Реализовать метод вращений Якоби для поиска собственных значений.

3 Задачи

Реализовать методы Якоби, протестировать метод на разных матрицах, сравнить количество итераций в зависимости от обусловленности матрицы при заданной точности.

4 Постановка задачи

Из курса линейной алгебры известно, что множество собственных значений некоторой матрицы A может быть найдено из решения уравнения:

$$A\phi = \lambda\phi \longrightarrow \det(A - \lambda E) = 0$$

В вычислительной практике рассматривается как полная, так и частичная проблемы поиска собственных значений.

Полная проблема - поиск всех собственных значений A

Частичная проблема - поиск некоторых, например, только минимальных собственных значений A

4.1 QR-алгоритм

Для решения спектральной задачи в целом используется QR алгоритм. Он основан на представлении матрицы A в виде $A = QR$, где $Q^T Q = E$ - ортогональная и R - верхняя треугольная матрицы.

Строится последовательность:

$$A_0 = Q_1 R_1, A_1 = R_1 Q_1$$

$$A_1 = Q_2 R_2, A_2 = R_2 Q_2$$

...

$$A_{k-1} = Q_k R_k, A_k = R_k Q_k$$

Будем считать, что для невырожденной матрицы A выполнено следующее:

$$|\lambda_1| > |\lambda_2| > \dots > |\lambda_n|$$

и существует представление:

$$A = T \Lambda T^{-1}, T^{-1} = LU, \Lambda = \text{diag}(\lambda_1, \lambda_2, \dots, \lambda_n)$$

Тогда последовательность A_k сходится к верхней треугольной матрице, диагональные элементы которой будут сходиться к собственным значениям.

4.2 Метод Якоби

Рассмотрим другой метод решения спектральной задачи: метод вращений Якоби. Для этого введем понятие матрицы вращения $T(ij)$:

$$T(ij) = \begin{pmatrix} 1 & \dots & 0 & \dots & 0 & \dots & 0 \\ \vdots & \vdots & \vdots & \vdots & \vdots & \vdots & \vdots \\ \vdots & \vdots & c & \dots & s & \vdots & \vdots \\ \vdots & \vdots & \vdots & \ddots & \vdots & \vdots & \vdots \\ \vdots & \vdots & -s & \dots & c & \vdots & \vdots \\ \vdots & \vdots & \vdots & \vdots & \vdots & \vdots & \vdots \\ 0 & \dots & 0 & \dots & 0 & \dots & 1 \end{pmatrix}$$

где $c^2 + s^2 = 1$ и $\text{diag} E = \text{diag} T(ij)$. Элементы s и c расположены на пересечении строк и столбцов с индексами i, j .

Заметим, что $T(ij)$ - ортогональная матрица:

$$T(ij)T(ij)^T = E$$

а при умножении вектора на матрицу меняются только его координаты i, j местами.

Пусть

$$B = T^*(kl)AT(kl)$$

Определим последовательность матриц $A_0 = A, A_1, A_2, \dots$, каждая из которых получается из предыдущей с помощью преобразования подобия, определяемого матрицей вращения.

На каждом шаге этого процесса обнуляется отдельный внедиагональный элемент (алгоритм обнуления расписан ниже).

Элементы B будут описываться так:

$$b_{kk} = c^2 a_{kk} + s^2 a_{ll} - 2csa_{kl}$$

$$\begin{aligned}
b_{ll} &= s^2 a_{kk} + c^2 a_{ll} - 2csa_{kl} \\
b_{kl} &= (c^2 - s^2)a_{kl} + cs(a_{kk} - a_{ll}) \\
b_{ki} &= ca_{ki} - sa_{li}, i \neq k, i \neq l \\
b_{li} &= sa_{ki} + ca_{li}, i \neq k, i \neq l
\end{aligned}$$

Тогда для обнуления b_{kl} требуем:

$$(c^2 - s^2)a_{kl} + cs(a_{kk} - a_{ll}) = 0$$

Введем замену $c = \cos \theta$, $s = \sin \theta$, тогда:

$$(\cos^2 \theta - \sin^2 \theta)a_{kl} + \cos \theta \sin \theta(a_{kk} - a_{ll}) = 0$$

$$\begin{aligned}
\frac{\cos 2\theta}{\cos \theta \sin \theta} &= -\frac{a_{kk} - a_{ll}}{a_{kl}} \\
\cot 2\theta &= -\frac{a_{kk} - a_{ll}}{2a_{kl}}
\end{aligned}$$

Введем дополнительные обозначения:

$$\phi = \cot 2\theta, t = \tan \theta$$

Тогда наше уравнение можно переписать в виде:

$$t^2 + 2\phi t - 1 = 0$$

Откуда:

$$t = -\phi \pm \sqrt{\phi^2 + 1}$$

Выберем меньший по модулю корень, так как он будет порождать более устойчивый алгоритм:

$$t = \text{sign}(\phi)(-|\phi| + \sqrt{\phi^2 + 1})$$

При большом значении $|\phi|$ будем брать:

$$t = \frac{\text{sign}(\phi)}{|\phi| + \sqrt{\phi^2 + 1}}$$

При очень большом значении $|\phi|$ будем брать:

$$t \approx \frac{1}{2\phi}$$

По значению t находим;

$$c = \frac{1}{\sqrt{1+t^2}}, s = tc$$

Теперь перепишу итоговые расчетные формулы для элементов B :

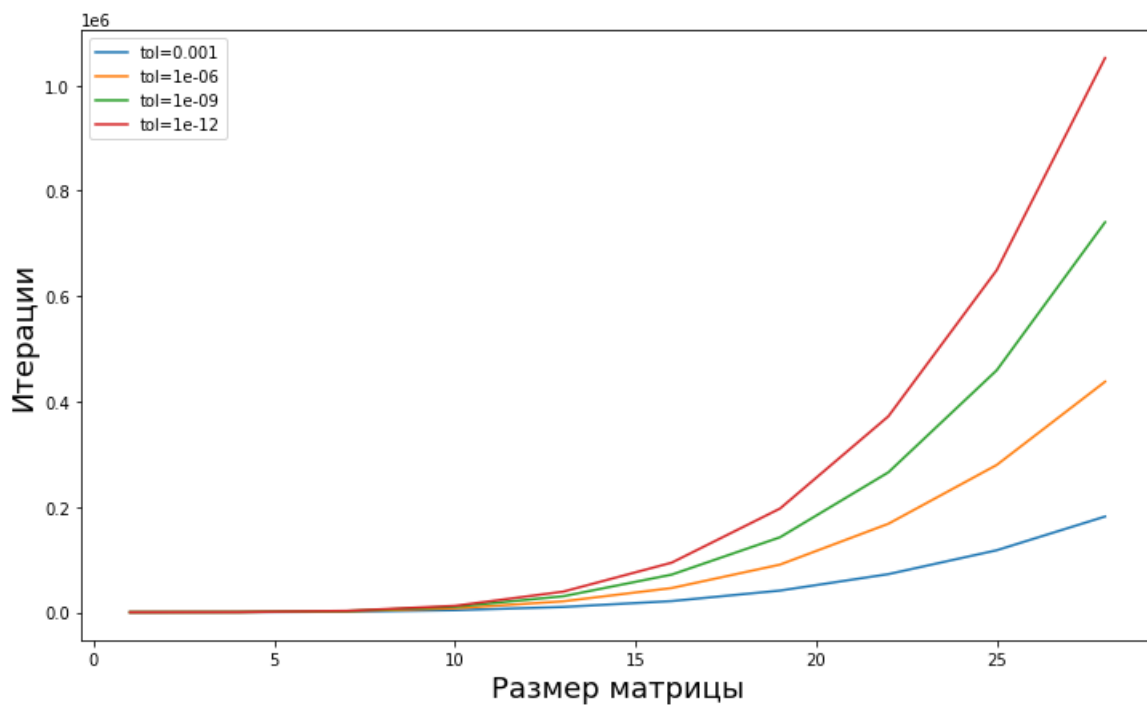
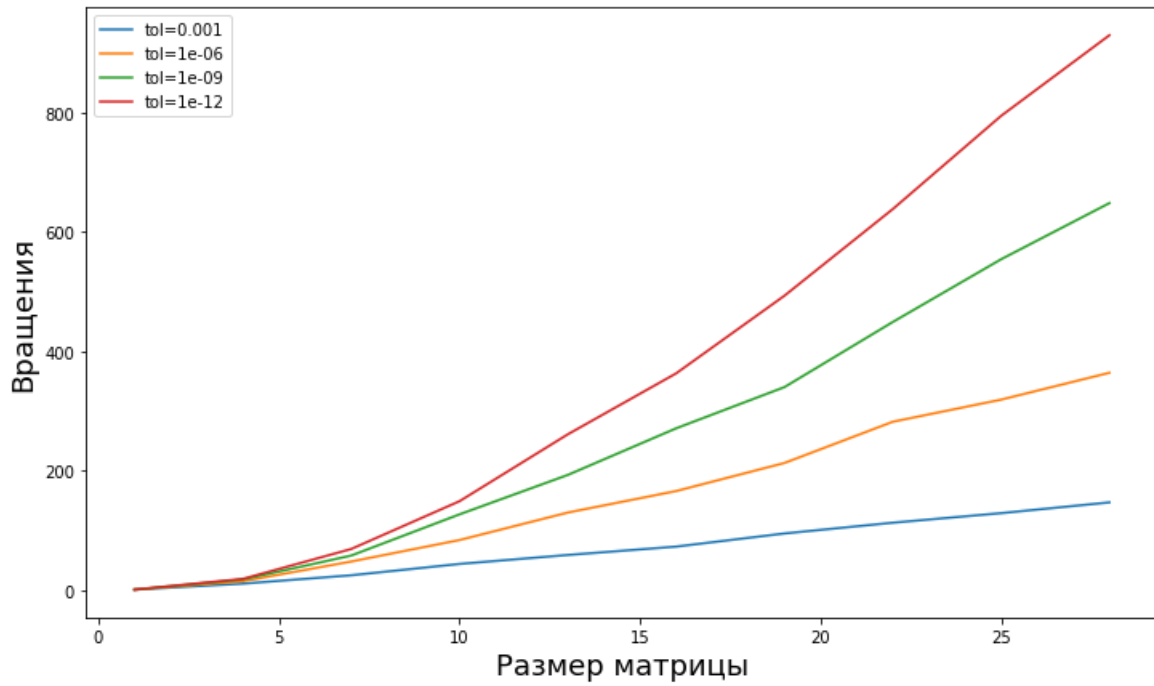
$$\begin{aligned}
b_{kk} &= a_{kk} - ta_{kl} \\
b_{ll} &= a_{ll} + ta_{kl} \\
b_{kl} &= 0 \\
b_{ki} &= a_{ki} - s(a_{li} + \tau a_{ki}), i \neq k, i \neq l, \tau = \frac{s}{1+c} \\
b_{li} &= a_{li} + s(a_{ki} - \tau a_{li}), i \neq k, i \neq l, \tau = \frac{s}{1+c}
\end{aligned}$$

При таком преобразовании сумма квадратов внедиагональных элементов убывает. Последовательность матриц A_k сходится к диагональной матрице, причем ее диагональные элементы сходятся к собственным значениям матрицы A .

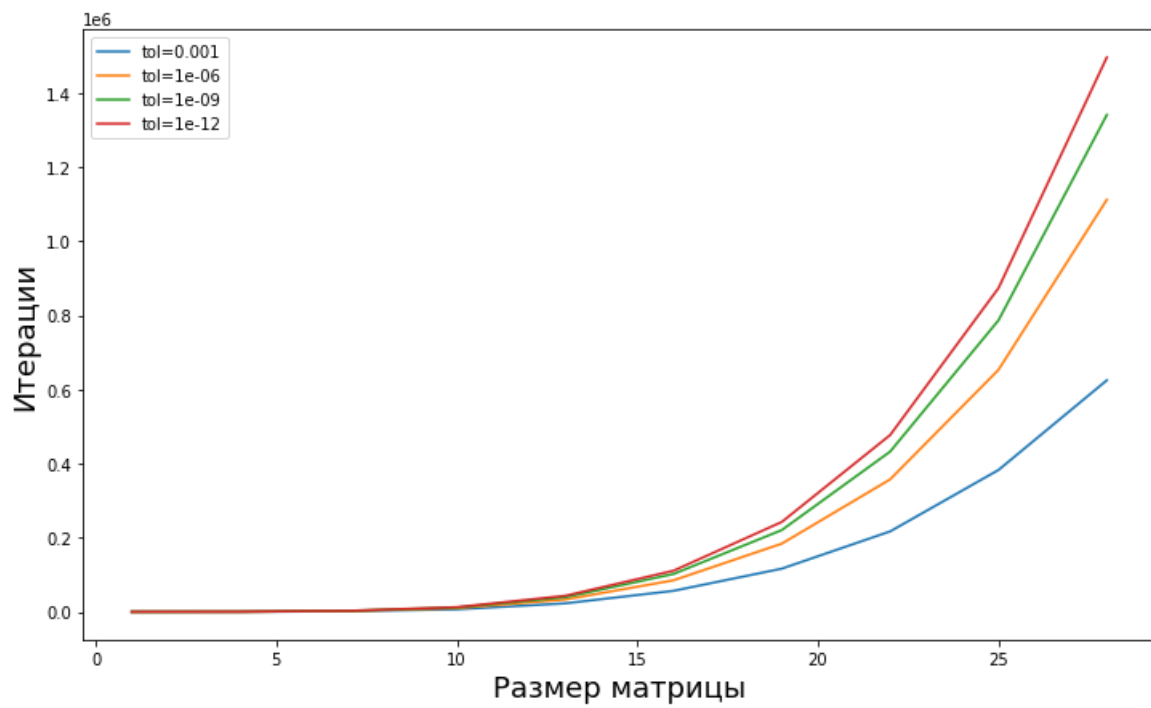
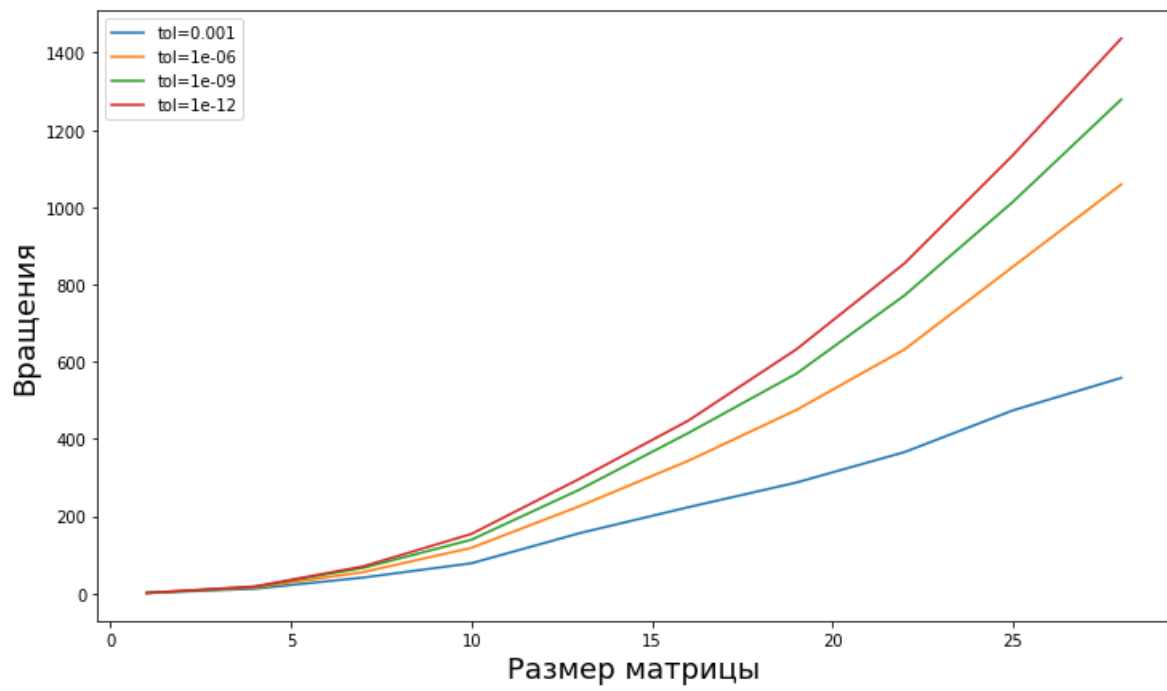
Оптимизация будет достигаться за счет выбора максимального для "уничтожения" элемента на каждом шаге.

5 Результат работы алгоритма на разных матрицах

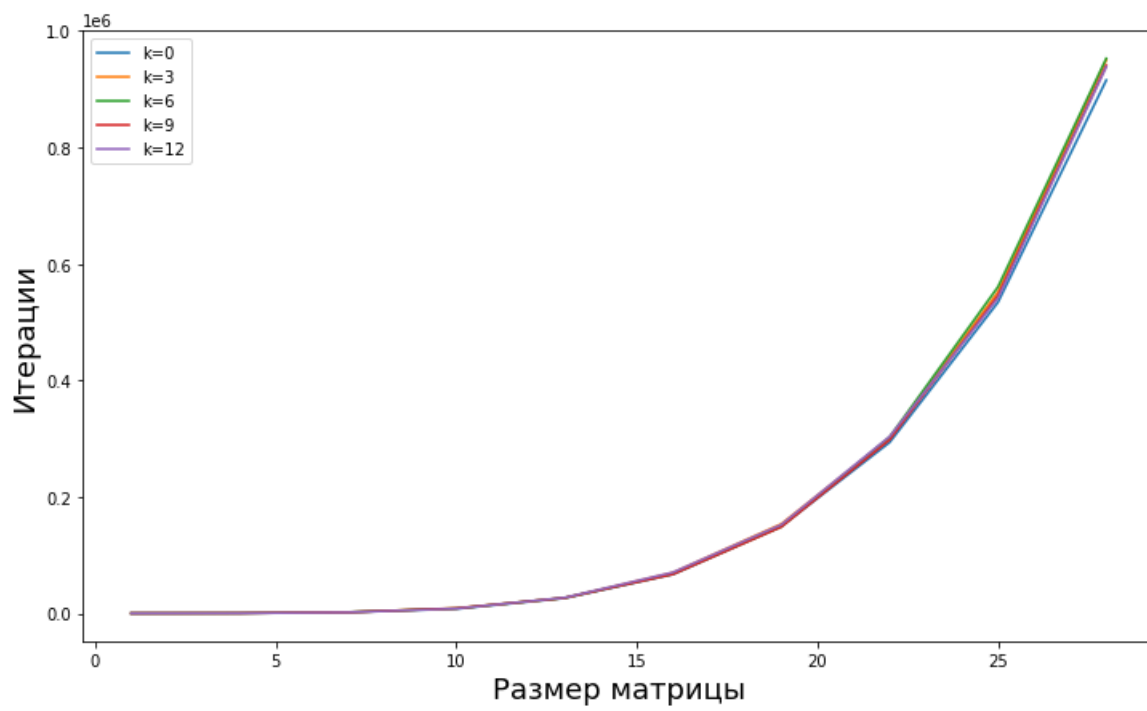
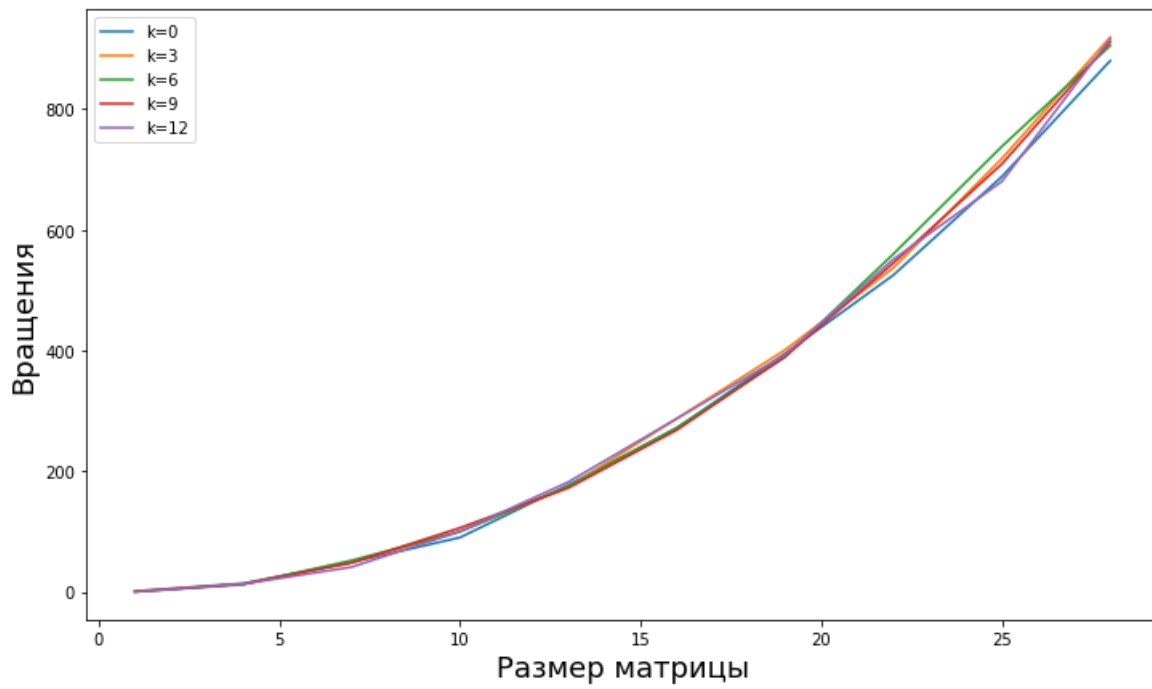
5.1 Матрица Гильберта



5.2 Матрица Лемера



5.3 Матрица с разным чилом обусловленности



6 Выводы.

В ходе работы получены следующие результаты:

1. Реализован алгоритм вращений Якоби
2. Наблюдается нелинейная зависимость общего числа итераций от точности
3. Наблюдается линейная зависимость числа вращений матрицы от точности
4. Наблюдается нелинейная зависимость общего числа итераций с ростом обусловленности
5. Наблюдается нелинейная зависимость числа поворотов с ростом обусловленности
6. Изменение параметра k не сильно влияет на число как итераций, так и количества поворотов